

Représentation de systèmes non linéaires par les séries Volterra: Calcul de domaines de convergence et applications

Thomas Hélie

IRCAM - CNRS UMR9912 - UPMC, Paris, France

Université de Pau et des Pays de l'Adour,
12 mai 2011

Plan

- **Préambule**
- **Partie 1:** Tutoriel (pratique des SV en ingénierie)
- **Partie 2:** Calcul de domaines de convergence [\[Hélie,Laroche\]](#)
- **Partie 3:** Applications pour la synthèse sonore
- **Conclusion et perspectives**

Préambule

PREAMBULE

Vito Volterra [1860 (Ancone) - 1940 (Rome)]

(source: wikipédia)



Vito Volterra est un **mathématicien et physicien italien**. Il est surtout connu pour ses **travaux sur les équations intégro-différentielles, la dislocation des cristaux, et la dynamique des populations**. Il fut un opposant résolu au fascisme, n'hésitant pas à renoncer aux honneurs académiques par conviction politique.

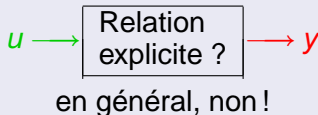
Royal Society (1910) - Royal Society of Edinburgh (1913)

Un cratère de la Lune porte son nom

Séries de Volterra: principe et intérêt

Système différentiel non linéaire entrée/sortie d'état x

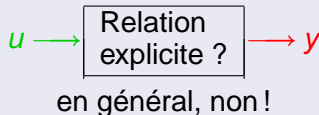
$$\begin{aligned}x'(t) &= F(x(t), u(t)) \\ y(t) &= G(x(t), u(t))\end{aligned}$$



Séries de Volterra: principe et intérêt

Systeme différentiel non linéaire entrée/sortie d'état x

$$\begin{aligned}x'(t) &= F(x(t), u(t)) \\ y(t) &= G(x(t), u(t))\end{aligned}$$



Cas linéaire (LTI & CI nulles)

$$F(x, u) = Ax + Bu$$

$$G(x, u) = Cx + Du$$

Relation E/S: Convolution

par le noyau

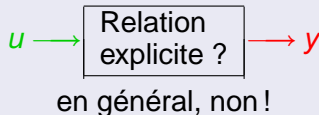
$$h(t) = Ce^{At}B + D$$

Intérêt: analyse & simulation

Séries de Volterra: principe et intérêt

Système différentiel non linéaire entrée/sortie d'état x

$$\begin{aligned}x'(t) &= F(x(t), u(t)) \\ y(t) &= G(x(t), u(t))\end{aligned}$$



Cas linéaire (LTI & CI nulles)

$$\begin{aligned}F(x, u) &= Ax + Bu \\ G(x, u) &= Cx + Du\end{aligned}$$

Cas "faiblement" non linéaire

F, G : analytique autour du point d'équilibre $(0,0)$

Relation E/S: Convolution

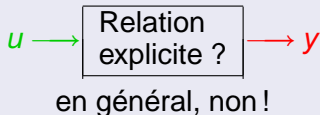
par le noyau
 $h(t) = Ce^{At}B + D$

Intérêt: analyse & simulation

Séries de Volterra: principe et intérêt

Système différentiel non linéaire entrée/sortie d'état x

$$\begin{aligned}x'(t) &= F(x(t), u(t)) \\ y(t) &= G(x(t), u(t))\end{aligned}$$



Cas linéaire (LTI & CI nulles)

$$\begin{aligned}F(x, u) &= Ax + Bu \\ G(x, u) &= Cx + Du\end{aligned}$$

Cas "faiblement" non linéaire

F, G : analytique autour du point d'équilibre $(0,0)$

Relation E/S: Convolution

par le noyau
 $h(t) = Ce^{At}B + D$

Intérêt: analyse & simulation

Relation E/S: Séries de Volterra

Sommes de **convolutions multiples**
 par des **noyaux calculables**

Intérêt: idem.

Lien avec les perturbations régulières

Système faiblement non linéaire

$$\begin{aligned}x'(t) &= F(x(t), u(t)) & F(X, U) &= \sum_{m,n} \frac{D_{m,n} F(0,0)}{m!n!} (X, \dots, X, U, \dots, U) \\y(t) &= G(x(t), u(t)) & G(X, U) &= \sum_{m,n} \frac{D_{m,n} G(0,0)}{m!n!} (X, \dots, X, U, \dots, U)\end{aligned}$$

Lien avec les perturbations régulières

Système faiblement non linéaire

$$\begin{aligned} x'(t) &= F(x(t), u(t)) & F(X, U) &= \sum_{m,n} \frac{D_{m,n} F(0,0)}{m!n!} (X, \dots, X, U, \dots, U) \\ y(t) &= G(x(t), u(t)) & G(X, U) &= \sum_{m,n} \frac{D_{m,n} G(0,0)}{m!n!} (X, \dots, X, U, \dots, U) \end{aligned}$$

On choisit l'entrée comme la perturbation $u(t) = \eta v(t)$

- (i) Poser $x(t) = \sum_k \eta^k x_k(t)$ et $y(t) = \sum_k \eta^k y_k(t)$
- (ii) Injecter ces décompositions dans les éq. du système.
- (iii) Reclasser les équations selon les η^k

Lien avec les perturbations régulières

Système faiblement non linéaire

$$\begin{aligned} x'(t) &= F(x(t), u(t)) & F(X, U) &= \sum_{m,n} \frac{D_{m,n} F(0,0)}{m!n!} (X, \dots, X, U, \dots, U) \\ y(t) &= G(x(t), u(t)) & G(X, U) &= \sum_{m,n} \frac{D_{m,n} G(0,0)}{m!n!} (X, \dots, X, U, \dots, U) \end{aligned}$$

On choisit l'entrée comme la perturbation $u(t) = \eta v(t)$

- (i) Poser $x(t) = \sum_k \eta^k x_k(t)$ et $y(t) = \sum_k \eta^k y_k(t)$
- (ii) Injecter ces décompositions dans les éq. du système.
- (iii) Reclasser les équations selon les η^k

On obtient une infinité d'EDO linéaires indexées par k

- (iv) Résoudre analytiquement
- (v) Chaque **contribution homogène d'ordre k** correspond à une **convolution multiple sur u avec des noyaux calculables**
 → **noyaux de Volterra**

Point de vue qualitatif et domaines d'applications

Quelques comparaisons:

Cas	Relation explicite E/S	distorsions	auto-oscillation bifucation, chaos
Général	non	oui	oui
Volterra	oui	oui	non
Linéaire	oui	non	non

Point de vue qualitatif et domaines d'applications

Quelques comparaisons:

Cas	Relation explicite E/S	distorsions	auto-oscillation bifucation, chaos
Général	non	oui	oui
Volterra	oui	oui	non
Linéaire	oui	non	non

Domaines d'applications

- Electronique, Electromagnétisme, Mécanique, Ingénierie bio-médicale, etc
- Acoustique musicale (modèles **EDP**)

Partie 1: Tutoriel

TUTORIEL

(Pratique des séries de Volterra en ingénierie)

Séries de Volterra (syst. stationnaire, entrée simple)

Définition

Un syst. $u \rightarrow \boxed{\{h_n\}} \rightarrow y$ est défini par la série de Volterra $\{h_n\}_{n \in \mathbb{N}^*}$ si

$$y(t) = \underbrace{\sum_{n=1}^{+\infty}}_{\text{Somme}} \underbrace{\int_{\mathbb{R}^n} h_n(\tau_1, \dots, \tau_n) u(t - \tau_1) \dots u(t - \tau_n) d\tau_1 \dots d\tau_n}_{\text{de multi-convolutions}}$$

Séries de Volterra (syst. stationnaire, entrée simple)

Définition

Un syst. $u \rightarrow \boxed{\{h_n\}} \rightarrow y$ est défini par la **série de Volterra** $\{h_n\}_{n \in \mathbb{N}^*}$ si

$$\begin{aligned} y(t) &= \sum_{n=1}^{+\infty} \int_{\mathbb{R}^n} h_n(\tau_1, \dots, \tau_n) u(t - \tau_1) \dots u(t - \tau_n) d\tau_1 \dots d\tau_n \\ &= \int_{\mathbb{R}} h_1(\tau_1) u(t - \tau_1) d\tau_1 \end{aligned}$$

Exemples:

- Filtres linéaires: $h_n = 0$ pour $n \geq 2$

Séries de Volterra (syst. stationnaire, entrée simple)

Définition

Un syst. $u \rightarrow \boxed{\{h_n\}} \rightarrow y$ est défini par la **série de Volterra** $\{h_n\}_{n \in \mathbb{N}^*}$ si

$$\begin{aligned}
 y(t) &= \sum_{n=1}^{+\infty} \int_{\mathbb{R}^n} h_n(\tau_1, \dots, \tau_n) u(t - \tau_1) \dots u(t - \tau_n) d\tau_1 \dots d\tau_n \\
 &= \sum_{n=1}^{+\infty} \alpha_n \left(u(t) \right)^n \quad \text{Fct. DSE}
 \end{aligned}$$

Exemples:

- Filtres linéaires: $h_n = 0$ pour $n \geq 2$
- Fct sans mémoire: $h_n(\tau_1, \dots, \tau_n) = \alpha_n \delta(\tau_1, \dots, \tau_n)$

Séries de Volterra (syst. stationnaire, entrée simple)

Définition

Un syst. $u \rightarrow \boxed{\{h_n\}} \rightarrow y$ est défini par la **série de Volterra** $\{h_n\}_{n \in \mathbb{N}^*}$ si

$$y(t) = \underbrace{\sum_{n=1}^{+\infty} \int_{\mathbb{R}^n} h_n(\tau_1, \dots, \tau_n) u(t - \tau_1) \dots u(t - \tau_n) d\tau_1 \dots d\tau_n}_{\text{Somme de multi-convolutions}}$$

Exemples:

- Filtres linéaires: $h_n = 0$ pour $n \geq 2$
- Fct sans mémoire: $h_n(\tau_1, \dots, \tau_n) = \alpha_n \delta(\tau_1, \dots, \tau_n)$
- Cas général: $n=1$ (contrib. lin.), $n=2$ (quadratique), etc

Propriétés et analogies avec les systèmes linéaires

Un système est causal, si

$$\tau < 0 \Rightarrow h(\tau) = 0 \quad (\text{linéaire})$$

$$\tau_k < 0 \Rightarrow h_n(\tau_1, \dots, \tau_k, \dots, \tau_n) = 0 \quad (\text{Volterra})$$

Propriétés et analogies avec les systèmes linéaires

Un système est causal, si

$$\tau < 0 \Rightarrow h(\tau) = 0 \quad (\text{linéaire})$$

$$\tau_k < 0 \Rightarrow h_n(\tau_1, \dots, \tau_k, \dots, \tau_n) = 0 \quad (\text{Volterra})$$

Domaine de Laplace (/idem Fourier) on note $(\tau_{1:n}) = (\tau_1, \dots, \tau_n)$

$$\text{Fct. trsfrt} \quad H(s) = \int_{\mathbb{R}} h(\tau) e^{-s\tau} d\tau \quad (\text{lin.})$$

$$\text{Noy. trsfrt} \quad H_n(s_{1:n}) = \int_{\mathbb{R}^n} h_n(\tau_{1:n}) e^{-(s_1\tau_1 + \dots + s_n\tau_n)} d\tau_1 \dots d\tau_n \quad (\text{Volt.})$$

Propriétés et analogies avec les systèmes linéaires

Un système est causal, si

$$\begin{aligned} \tau < 0 &\Rightarrow h(\tau) = 0 && \text{(linéaire)} \\ \tau_k < 0 &\Rightarrow h_n(\tau_1, \dots, \tau_k, \dots, \tau_n) = 0 && \text{(Volterra)} \end{aligned}$$

Domaine de Laplace (/idem Fourier) on note $(\tau_{1:n}) = (\tau_1, \dots, \tau_n)$

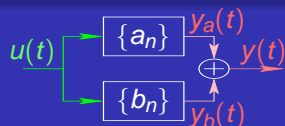
$$\text{Fct. trsfrt} \quad H(s) = \int_{\mathbb{R}} h(\tau) e^{-s\tau} d\tau \quad \text{(lin.)}$$

$$\text{Noy. trsfrt} \quad H_n(s_{1:n}) = \int_{\mathbb{R}^n} h_n(\tau_{1:n}) e^{-(s_1\tau_1 + \dots + s_n\tau_n)} d\tau_1 \dots d\tau_n \quad \text{(Volt.)}$$

Pour un système causal stable: PAS de pôles (ni singularités)

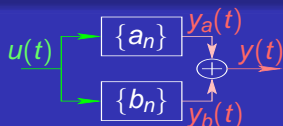
$$\begin{aligned} \text{de } H(s) &\quad \text{pour } \Re(s) > 0 && \text{(linéaire)} \\ \text{de } H_n(s_{1:n}) &\quad \text{pour } \Re(s_1) > 0, \dots, \Re(s_n) > 0 && \text{(Volterra)} \end{aligned}$$

Loi d'interconnexion: Somme



Calcul de $y(t) = y_a(t) + y_b(t)$

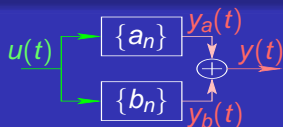
Loi d'interconnexion: Somme



Calcul de $y(t) = y_a(t) + y_b(t)$

$$y(t) = \sum_{n=1}^{+\infty} \int_{\mathbb{R}^n} a_n(\tau_{1:n}) u(t - \tau_1) \dots u(t - \tau_n) d\tau_1 \dots d\tau_n \\ + \sum_{n=1}^{+\infty} \int_{\mathbb{R}^n} b_n(\tau_{1:n}) u(t - \tau_1) \dots u(t - \tau_n) d\tau_1 \dots d\tau_n$$

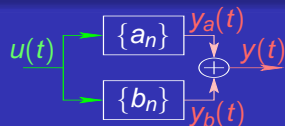
Loi d'interconnexion: Somme



Calcul de $y(t) = y_a(t) + y_b(t)$

$$\begin{aligned}
 y(t) &= \sum_{n=1}^{+\infty} \int_{\mathbb{R}^n} a_n(\tau_{1:n}) u(t - \tau_1) \dots u(t - \tau_n) d\tau_1 \dots d\tau_n \\
 &\quad + \sum_{n=1}^{+\infty} \int_{\mathbb{R}^n} b_n(\tau_{1:n}) u(t - \tau_1) \dots u(t - \tau_n) d\tau_1 \dots d\tau_n \\
 &= \sum_{n=1}^{+\infty} \int_{\mathbb{R}^n} [a_n(\tau_{1:n}) + b_n(\tau_{1:n})] u(t - \tau_1) \dots u(t - \tau_n) d\tau_1 \dots d\tau_n
 \end{aligned}$$

Loi d'interconnexion: Somme



Calcul de $y(t) = y_a(t) + y_b(t)$

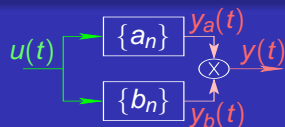
$$\begin{aligned}
 y(t) &= \sum_{n=1}^{+\infty} \int_{\mathbb{R}^n} a_n(\tau_{1:n}) u(t - \tau_1) \dots u(t - \tau_n) d\tau_1 \dots d\tau_n \\
 &\quad + \sum_{n=1}^{+\infty} \int_{\mathbb{R}^n} b_n(\tau_{1:n}) u(t - \tau_1) \dots u(t - \tau_n) d\tau_1 \dots d\tau_n \\
 &= \sum_{n=1}^{+\infty} \int_{\mathbb{R}^n} [a_n(\tau_{1:n}) + b_n(\tau_{1:n})] u(t - \tau_1) \dots u(t - \tau_n) d\tau_1 \dots d\tau_n
 \end{aligned}$$

Résultat: Noyaux équivalents c_n

$$c_n(\tau_{1:n}) = a_n(\tau_{1:n}) + b_n(\tau_{1:n})$$

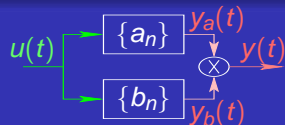
T. Laplace: $C_n(s_{1:n}) = A_n(s_{1:n}) + B_n(s_{1:n})$

Loi d'interconnexion: Produit



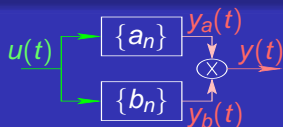
Calcul de $y(t) = y_a(t) y_b(t)$

Loi d'interconnexion: Produit

Calcul de $y(t) = y_a(t) y_b(t)$

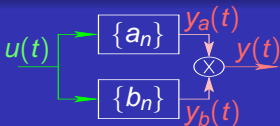
$$\begin{aligned}
 y(t) &= \sum_{p=1}^{+\infty} \int_{\mathbb{R}^p} a_p(\theta_{1:p}) u(t - \theta_1) \dots u(t - \theta_p) d\theta_1 \dots d\theta_p \\
 &\quad \times \sum_{q=1}^{+\infty} \int_{\mathbb{R}^q} b_q(\sigma_{1:q}) u(t - \sigma_1) \dots u(t - \sigma_q) d\sigma_1 \dots d\sigma_q
 \end{aligned}$$

Loi d'interconnexion: Produit



Calcul de $y(t) = y_a(t) y_b(t)$

$$\begin{aligned}
 y(t) &= \sum_{p=1}^{+\infty} \int_{\mathbb{R}^p} a_p(\theta_{1:p}) u(t - \theta_1) \dots u(t - \theta_p) d\theta_1 \dots d\theta_p \\
 &\quad \times \sum_{q=1}^{+\infty} \int_{\mathbb{R}^q} b_q(\sigma_{1:q}) u(t - \sigma_1) \dots u(t - \sigma_q) d\sigma_1 \dots d\sigma_q \\
 &= \sum_{n=1}^{+\infty} \int_{\mathbb{R}^n} \left[\sum_{\substack{p,q \geq 1 \\ p+q=n}} a_p(\theta_{1:p}) b_q(\sigma_{1:q}) \right] u(t - \theta_1) \dots u(t - \theta_p) \\
 &\quad u(t - \sigma_1) \dots u(t - \sigma_q) d\theta_1 \dots d\theta_p d\sigma_1 \dots d\sigma_q
 \end{aligned}$$



Loi d'interconnexion: Produit

Calcul de $y(t) = y_a(t) y_b(t)$

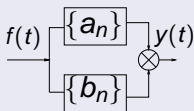
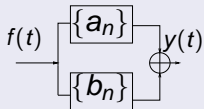
$$\begin{aligned}
 y(t) &= \sum_{p=1}^{+\infty} \int_{\mathbb{R}^p} a_p(\theta_{1:p}) u(t - \theta_1) \dots u(t - \theta_p) d\theta_1 \dots d\theta_p \\
 &\quad \times \sum_{q=1}^{+\infty} \int_{\mathbb{R}^q} b_q(\sigma_{1:q}) u(t - \sigma_1) \dots u(t - \sigma_q) d\sigma_1 \dots d\sigma_q \\
 &= \sum_{n=1}^{+\infty} \int_{\mathbb{R}^n} \left[\sum_{\substack{p,q \geq 1 \\ p+q=n}} a_p(\theta_{1:p}) b_q(\sigma_{1:q}) \right] u(t - \theta_1) \dots u(t - \theta_p) \\
 &\quad u(t - \sigma_1) \dots u(t - \sigma_q) d\theta_1 \dots d\theta_p d\sigma_1 \dots d\sigma_q
 \end{aligned}$$

Résultat: Noyaux équivalents c_n

$$c_n(\tau_{1:n}) = \sum_{p=1}^{n-1} a_p(\tau_{1:p}) b_{n-p}(\tau_{p+1:n})$$

T. Laplace: $C_n(s_{1:n}) = \sum_{p=1}^{n-1} A_p(s_{1:p}) B_{n-p}(s_{p+1:n})$

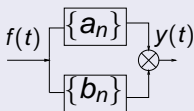
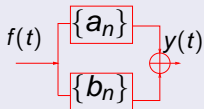
Somme, produit et cascade de systèmes



Noyaux de transfert équivalents C_n

A_n et B_n : noyaux de transfert des 2 séries

Somme, produit et cascade de systèmes

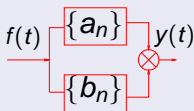
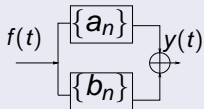


Noyaux de transfert équivalents C_n

A_n et B_n : noyaux de transfert des 2 séries

$$\text{Somme: } C_n(s_{1:n}) = A_n(s_{1:n}) + B_n(s_{1:n})$$

Somme, produit et cascade de systèmes

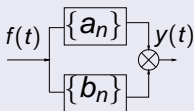
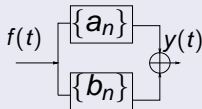
Noyaux de transfert équivalents C_n

A_n et B_n : noyaux de transfert des 2 séries

$$\text{Somme: } C_n(s_{1:n}) = A_n(s_{1:n}) + B_n(s_{1:n})$$

$$\text{Produit: } C_n(s_{1:n}) = \sum_{p=1}^{n-1} A_p(s_{1:p}) B_{n-p}(s_{p+1:n})$$

Somme, produit et cascade de systèmes

Noyaux de transfert équivalents C_n

A_n et B_n : noyaux de transfert des 2 séries

$$\text{Somme: } C_n(s_{1:n}) = A_n(s_{1:n}) + B_n(s_{1:n})$$

$$\text{Produit: } C_n(s_{1:n}) = \sum_{p=1}^{n-1} A_p(s_{1:p}) B_{n-p}(s_{p+1:n})$$

$$\text{Cascade avec un syst. lin.: } C_n(s_{1:n}) = A_n(s_{1:n}) B_1(\widehat{s_{1:n}})$$

avec $\widehat{s_{1:n}} = s_1 + \dots + s_n$.

Syst. annulateur: Ressort NL $f \rightarrow \{h_n\} \rightarrow z$

Equation (repos avant $t=0$)

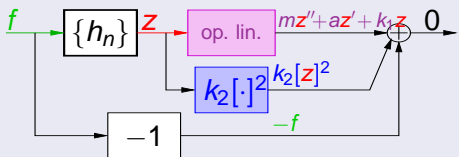
$$mz'' + az' + k_1z + k_2[z]^2 = f$$

Syst. annulateur: Ressort NL $f \rightarrow \{h_n\} \rightarrow z$

Equation (repos avant $t=0$)

$$mz'' + az' + k_1z + k_2[z]^2 = f$$

Système annulateur (diagr. bloc)

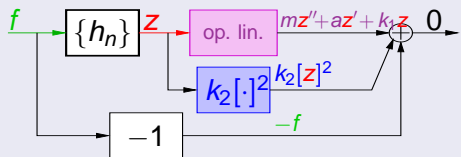


Syst. annulateur: Ressort NL $f \rightarrow \{h_n\} \rightarrow z$

Equation (repos avant $t=0$)

$$mz'' + az' + k_1z + k_2[z]^2 = f$$

Système annulateur (diagr. bloc)



Blocs élémentaires \rightarrow Noyaux de transfert équivalents

$$m \frac{d^2}{dt^2} + a \frac{d}{dt} + k_1$$

$$\rightarrow Q_1(s) = ms^2 + as + k_1, Q_n = 0 \text{ si } n \geq 2$$

$$k_2[\cdot]^2$$

\rightarrow interconnexion produit, puis $\times k_2$

$$-1$$

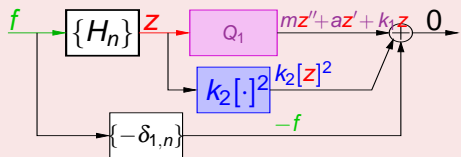
$\rightarrow -\delta_{1,n} = -1$ si $n = 1$ et $-\delta_{1,n} = 0$ sinon

Syst. annulateur: Ressort NL $f \xrightarrow{\text{green}} \boxed{\{h_n\}} \xrightarrow{\text{red}} z$

Equation (repos avant $t=0$)

$$mz'' + az' + k_1z + k_2[z]^2 = f$$

Système annulateur (diagr. bloc)



Blocs élémentaires \rightarrow Noyaux de transfert équivalents

$$m \frac{d^2}{dt^2} + a \frac{d}{dt} + k_1$$

$$\rightarrow Q_1(s) = ms^2 + as + k_1, Q_n = 0 \text{ si } n \geq 2$$

$$k_2[\cdot]^2$$

$$\rightarrow \text{interconnexion produit, puis } \times k_2$$

$$-1$$

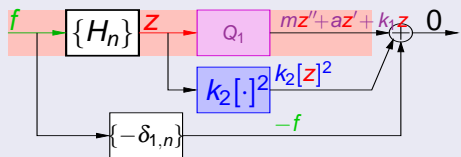
$$\rightarrow -\delta_{1,n} = -1 \text{ si } n = 1 \text{ et } -\delta_{1,n} = 0 \text{ sinon}$$

Syst. annulateur: Ressort NL $f \xrightarrow{\text{green}} \boxed{\{h_n\}} \xrightarrow{\text{red}} z$

Equation (repos avant $t=0$)

$$mz'' + az' + k_1z + k_2[z]^2 = f$$

Système annulateur (diagr. bloc)



Noyau d'ordre n du système annulateur

$$H_n(s_{1:n}) Q_1(\widehat{s_{1:n}})$$

$$+ k_2 \sum_{p=1}^{n-1} H_p(s_{1,p}) H_{n-p}(s_{p+1:n})$$

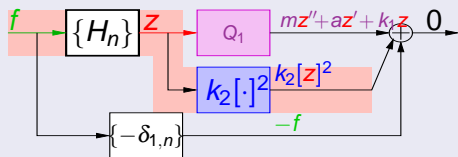
$$+ -\delta_{1,n} = 0$$

Syst. annulateur: Ressort NL $f \xrightarrow{\text{green}} \boxed{\{h_n\}} \xrightarrow{\text{red}} z$

Equation (repos avant $t=0$)

$$mz'' + az' + k_1z + k_2[z]^2 = f$$

Système annulateur (diagr. bloc)



Noyau d'ordre n du système annulateur

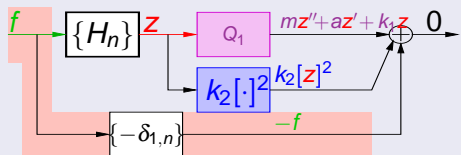
$$H_n(s_{1:n}) Q_1(\widehat{s_{1:n}}) + k_2 \sum_{p=1}^{n-1} H_p(s_{1:p}) H_{n-p}(s_{p+1:n}) + \dots - \delta_{1,n} = 0$$

Syst. annulateur: Ressort NL $f \xrightarrow{\text{green}} \boxed{\{h_n\}} \xrightarrow{\text{red}} z$

Equation (repos avant $t=0$)

$$mz'' + az' + k_1z + k_2[z]^2 = f$$

Système annulateur (diagr. bloc)



Noyau d'ordre n du système annulateur

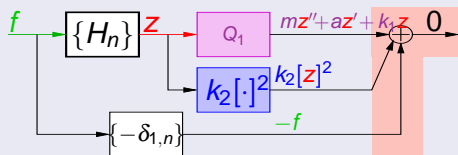
$$\begin{aligned}
 & H_n(s_{1:n}) Q_1(\widehat{s_{1:n}}) \\
 + & k_2 \sum_{p=1}^{n-1} H_p(s_{1:p}) H_{n-p}(s_{p+1:n}) \\
 + & -\delta_{1,n}
 \end{aligned}
 = 0$$

Syst. annulateur: Ressort NL $f \xrightarrow{\text{green}} \boxed{\{h_n\}} \xrightarrow{\text{red}} z$

Equation (repos avant $t=0$)

$$mz'' + az' + k_1z + k_2[z]^2 = f$$

Système annulateur (diagr. bloc)



Noyau d'ordre n du système annulateur

$$\begin{aligned}
 & H_n(s_{1:n}) Q_1(\widehat{s_{1:n}}) \\
 + & k_2 \sum_{p=1}^{n-1} H_p(s_{1:p}) H_{n-p}(s_{p+1:n}) \\
 + & -\delta_{1,n} \qquad \qquad \qquad = 0
 \end{aligned}$$

Noyaux $\{H_n\}$ du système \xrightarrow{f} $\boxed{\{h_n\}}$ \xrightarrow{Z}

Solution générale : équation algébrique recursive ($n \geq 1$)

$$H_n(s_{1:n}) = \frac{\delta_{1,n} - k_2 \overbrace{\sum_{p=1}^{n-1} H_p(s_{1:p}) H_{n-p}(s_{p+1:n})}^{\text{ordres} < n}}{Q_1(\widehat{s_{1:n}})}$$

avec $Q_1(s) = ms^2 + as + k_1$

Noyaux $\{H_n\}$ du système \xrightarrow{f} $\boxed{\{h_n\}}$ \xrightarrow{Z}

Solution générale : équation algébrique recursive ($n \geq 1$)

$$H_n(s_{1:n}) = \frac{\delta_{1,n} - k_2 \overbrace{\sum_{p=1}^{n-1} H_p(s_{1:p}) H_{n-p}(s_{p+1:n})}^{\text{ordres} < n}}{Q_1(\widehat{s_{1:n}})}$$

avec $Q_1(s) = ms^2 + as + k_1$

Premiers noyaux ($n = 1, 2, \text{etc}$)

$$H_1(s_1) = [Q_1(s_1)]^{-1}$$

$$H_2(s_1, s_2) = -k_2 [Q_1(s_1) Q_1(s_2) Q_1(s_1 + s_2)]^{-1}$$

etc...

En résumé:

On transforme un **problème faiblement non linéaire**
en une **infinité de problèmes linéaires** qu'on sait résoudre.

En résumé:

On transforme un **problème faiblement non linéaire**
en une **infinité de problèmes linéaires** qu'on sait résoudre.

En pratique :

On tronque la série pour avoir les premières distorsions

En résumé:

On transforme un **problème faiblement non linéaire**
en une **infinité de problèmes linéaires** qu'on sait résoudre.

En pratique :

On tronque la série pour avoir les premières distorsions

Extension aux équations aux dérivées partielles:

même principe: cf. Applications

En résumé:

On transforme un **problème faiblement non linéaire**
en une **infinité de problèmes linéaires** qu'on sait résoudre.

En pratique :

On tronque la série pour avoir les premières distorsions

Extension aux équations aux dérivées partielles:

même principe: cf. Applications

Pour la simulation :

On construit des **structures "faible coût" réalisables à partir des noyaux**

Partie 2: Calcul de domaines de convergence

CALCULS DE DOMAINES DE CONVERGENCE

[Hélie,Laroche]

Notations

- \mathbb{T} désigne soit $[0, T]$ où $T > 0$, soit \mathbb{R}_+ .
- \mathbb{U} and \mathbb{X} espaces de Banach sur \mathbb{R} .
- $\mathcal{L}(\mathbb{U}, \mathbb{X})$ et $\mathcal{L}(\mathbb{X})$: opérateurs linéaires bornés.
- $\mathcal{ML}_j(\mathbb{X}, \mathbb{X})$ ($j \geq 2$): opérateurs multilinéaires bornés de $\underbrace{\mathbb{X} \times \cdots \times \mathbb{X}}_j$ dans \mathbb{X} , $\|E\| = \sup_{\substack{(x_1, \dots, x_j) \in \mathbb{X}^j \\ \|x_1\| = \dots = \|x_j\| = 1}} \|E(x_1, \dots, x_j)\|$.
- $\mathcal{ML}_{j,k}(\mathbb{X}, \mathbb{U}, \mathbb{X})$ ($j \geq 1, k \geq 1$): opérateurs multilinéaires bornés de $\underbrace{\mathbb{X} \times \cdots \times \mathbb{X}}_j \times \underbrace{\mathbb{U} \times \cdots \times \mathbb{U}}_k$ dans \mathbb{X} ,
 $\|E\| = \sup_{\substack{(x_1, \dots, x_j, u_1, \dots, u_k) \in \mathbb{X}^j \times \mathbb{U}^k \\ \|x_1\| = \dots = \|u_k\| = 1}} \|E(x_1, \dots, x_j, u_1, \dots, u_k)\|$.
- $\mathcal{U} = L^\infty(\mathbb{T}, \mathbb{U})$, $\mathcal{X} = L^\infty(\mathbb{T}, \mathbb{X})$.

Système analytique contrôlé

Problème considéré:

$$\frac{\partial x}{\partial t} = Ax + Bu + P(x) + Q(x, u), \text{ sur } \mathbb{T}, \quad (1)$$

$$x(0) = x_{\text{ini}} \in \mathbb{X}. \quad (2)$$

- A génère un semi-groupe C_0 sur \mathbb{X} , S ,
borne de croissance α (< 0 si $\mathbb{T} = \mathbb{R}_+$).
- $\beta > 0$ plus petit réel / pour $t \in \mathbb{T}$, $\|S(t)\|_{\mathcal{L}(\mathbb{X}, \mathbb{X})} \leq \beta \exp(\alpha t)$.
- $B \in \mathcal{L}(\mathbb{U}, \mathbb{X})$, $u \in \mathcal{U}$

Système analytique contrôlé

Problème considéré:

$$\frac{\partial x}{\partial t} = Ax + Bu + P(x) + Q(x, u), \text{ sur } \mathbb{T}, \quad (1)$$

$$x(0) = x_{\text{ini}} \in \mathbb{X}. \quad (2)$$

- $P(x) = \sum_{k=2}^{+\infty} A_k \underbrace{(x, \dots, x)}_k$, $Q(x, u) = \sum_{k=2}^{+\infty} B_k \underbrace{(x, \dots, x, u)}_{k-1}$,
- $A_k \in \mathcal{ML}_j(\mathbb{X}, \mathbb{X})$ et $B_k \in \mathcal{ML}_{k-1,1}(\mathbb{X}, \mathbb{U}, \mathbb{X})$,
- $\sum_{k=2}^{+\infty} \|A_k\|_{\mathcal{ML}_k(\mathbb{X}, \mathbb{X})} z^k$, $\sum_{k=2}^{+\infty} \|B_k\|_{\mathcal{ML}_{k-1,1}(\mathbb{X}, \mathbb{U}, \mathbb{X})} z^{k-1}$
 analytiques en $z = 0$.

Mise sous forme perturbative

- On introduit un paramètre de perturbation η

$$u = \eta v \quad , \quad x_{\text{ini}} = \eta \widetilde{x}_{\text{ini}},$$

- Le problème s'écrit

$$\begin{aligned} \frac{\partial x}{\partial t} &= (Ax + P(x)) + \eta(Bv + Q(x, v)), \\ x(0) &= \eta \widetilde{x}_{\text{ini}} \end{aligned}$$

- Solution sous la forme

$$x = \sum_{m=0}^{\infty} \eta^m \widetilde{x}_m = \sum_{m=0}^{\infty} x_m, \quad \text{où } x_m = \eta^m \widetilde{x}_m.$$

Construction formelle

Substitution et reclassement sur les puissances de η :

$$x_0 = 0,$$

$$\forall t \in \mathbb{T}, \quad x_1(t) = S(t)x_{\text{ini}} + \int_0^t S(t-\tau)Bu(\tau)d\tau,$$

$$x_m(t) = \int_0^t S(t-\tau)\chi_m(\tau)d\tau, \quad m \geq 2,$$

$$\begin{aligned} \chi_m(\tau) = & \sum_{k=2}^m \sum_{p \in \mathbb{M}_m^k} A_k(x_{p_1}(\tau), \dots, x_{p_k}(\tau)) \\ & + \sum_{k=2}^m \left\{ \begin{array}{l} \sum_{q \in \mathbb{M}_m^k} B_k(x_{q_1}(\tau), \dots, x_{q_{k-1}}(\tau), u(\tau)), \\ q_k = 1 \end{array} \right. \end{aligned}$$

\mathbb{M}_m^K ensemble des multi-index défini pour $m \in \mathbb{N}^*$ et $K \in \mathbb{N}^*$ par

$$\mathbb{M}_m^K = \left\{ p \in (\mathbb{N}^*)^K \mid p_1 + \dots + p_K = m \right\}.$$

Majoration des $\|x_m\|_{\mathcal{X}}$

Lemme (1)

Pour tout $m \in \mathbb{N}^*$, χ_m et x_m sont dans \mathcal{X} . De plus, si $m \geq 2$:

$$\|x_m\|_{\mathcal{X}} \leq \sum_{k=2}^m \left[a_k \sum_{p \in \mathbb{M}_m^k} \prod_{i=1}^k \|x_{p_i}\|_{\mathcal{X}} + b_k \sum_{\left\{ \begin{array}{l} q \in \mathbb{M}_m^k \\ q_k = 1 \end{array} \right\}} \left(\prod_{i=1}^{k-1} \|x_{q_i}\|_{\mathcal{X}} \right) \|u\|_{\mathcal{U}} \right], \quad (3)$$

avec $a_k = \gamma \|A_k\|_{\mathcal{ML}_k(\mathbb{X}, \mathbb{X})}$, $b_k = \gamma \|B_k\|_{\mathcal{ML}_{k-1,1}(\mathbb{X}, \mathbb{U}, \mathbb{X})}$ et

$$\int_{\mathbb{T}} \|S(\theta)\|_{\mathcal{L}(\mathbb{X}, \mathbb{X})} d\theta \leq \gamma < \infty.$$

Résultat de convergence I

Soit $\varepsilon > 0$,

- (i) notons $a(z) = \sum_{k=2}^{+\infty} a_k z^{k-1}$, $b(z) = \sum_{k=2}^{+\infty} b_k z^{k-1}$,
(où les a_k et b_k sont définis dans le lemme 1),
- (ii) et définissons la fonction

$$F_\varepsilon(z) = \frac{1 + \varepsilon b(z)}{1 - a(z)},$$

de rayon de convergence en $z = 0$ égal à $r \in \mathbb{R}_+^* \cup \{+\infty\}$.

Résultat de convergence II

Theorème (Un résultat d'inversion)

L'équation

$$x F'_\varepsilon(x) - F_\varepsilon(x) = 0$$

a soit une unique solution σ (cas 1) ou aucune solution (cas 2) dans l'intervalle $]0, r[$. On définit $\rho_\varepsilon^ > 0$ par*

$$(cas\ 1) \quad \rho_\varepsilon^* = \frac{\sigma}{F(\sigma)}, \quad (4)$$

$$(cas\ 2) \quad \rho_\varepsilon^* = \lim_{x \rightarrow r^-} \frac{x}{F(x)}. \quad (5)$$

Alors il existe une unique $z \mapsto \Phi_\varepsilon(z)$ analytique en $z = 0$ tq:

$$\Phi_\varepsilon(z) = z F_\varepsilon(\Phi_\varepsilon(z)).$$

Son rayon de convergence est $= \rho_\varepsilon^$ (cas 1) ou $\geq \rho_\varepsilon^*$ (cas 2).*

Résultat de convergence III

Theorème

Soient $u \in \mathcal{U}$ et $x_{\text{ini}} \in \mathbb{X}$, et $x_1 =$ défini par
 $x_1(t) = S(t)x_{\text{ini}} + \int_0^t S(t-\tau)Bu(\tau)d\tau$. Si

$$\|u\|_{\mathcal{U}} \leq \varepsilon \|x_1\|_{\mathcal{X}},$$

$$\|x_1\|_{\mathcal{X}} < \rho_\varepsilon,$$

alors la série $x = \sum_{m \in \mathbb{N}^*} x_m$ est normalement convergente dans \mathcal{X} avec

$$\|x\|_{\mathcal{X}} \leq \Phi_\varepsilon(\|x_1\|_{\mathcal{X}}).$$

(i.e: $z \mapsto \Phi_\varepsilon(z\|x_1\|_{\mathcal{X}})$ domine $z \mapsto \sum_{m \in \mathbb{N}^*} \|x_m\|_{\mathcal{X}} z^m$ lorsque $|z| < 1$.)

Idées de preuve

- th.II: conséquence directe des th. d'inversion régulière et singulière [Flajeolet, Sedgwick].
- th. III: on construit une suite $(\phi_m)_{m \in \mathbb{N}^*}$ tq $\phi_1 = 1$, et

$$\phi_m = \sum_{k=2}^m a_k \sum_{p \in \mathbb{M}_m^k} \prod_{i=1}^k \phi_{p_i} + \varepsilon \sum_{k=2}^m b_k \sum_{\substack{q \in \mathbb{M}_m^k \\ q_k = 1}} \prod_{i=1}^{k-1} \phi_{q_i}.$$

- on montre que $\|x_m\|_{\mathcal{X}} \leq \phi_m \|x_1\|_{\mathcal{X}}^m$
- on définit $\Phi_\varepsilon(X) = \sum_{m=1}^{\infty} \phi_m X^m$ et on montre que $\Phi_\varepsilon(z) = z F_\varepsilon(\Phi_\varepsilon(z))$.
- le tour est joué!

Exemples: Une EDO quadratique

$$\frac{dx}{dt} = -cx + dx^2 + u, \quad x(0) = x_{\text{ini}} > 0$$

$c, d > 0, \mathbb{T} = [0, +\infty[.$

Algorithme:

- $S(t) = e^{-ct}, \gamma = 1/c, a(z) = \frac{d}{c}z, b(z) = 0,$
- $F(z) = 1/(1 - \frac{d}{c}z),$ (indpt de ε)
- $r = c/d,$ et σ vérifie $\sigma = \frac{c}{2d}.$
- x_1 est la fonction $t \rightarrow x_{\text{ini}} e^{-ct} + \int_0^t e^{-c(t-\tau)} u(\tau) d\tau,$

$$\rho^* = c/4d.$$

Simulation

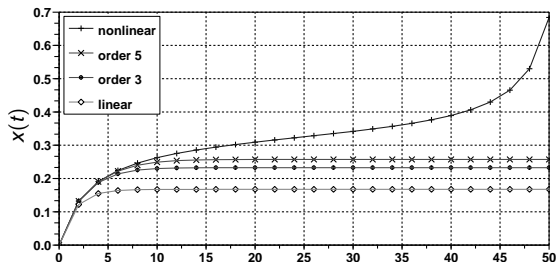


Figure: x et ses approximations pour $u = 1.03 * \rho^* / \gamma$ ($b = 1$, $x_{ini} = 0$).

Pour $u = 0$ et $x_{ini} \neq 0$, la borne trouvée ($|x_{ini}| \leq \rho^*$) est très pessimiste.

Stabilisation avec saturation

$$\frac{\partial x}{\partial t} = ax - \tanh(\gamma x) + u, \quad (6)$$

où $\gamma > a > 0$ et $x(0) = 0$. On trouve pour $T = +\infty$ que

$$\rho^* = \left[(2 - \xi) \arctan \sqrt{1 - \xi} \right] - \sqrt{1 - \xi}, \text{ où } \xi = \frac{a}{\gamma}.$$

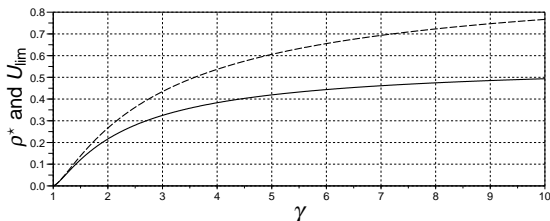


Figure: ρ^* (trait plein) et U_{lim} (trait pointillé) en fonction de γ .

EDP de réaction diffusion

Equation de réaction-diffusion 1-D conditions de Dirichlet

$$\partial_t f(t, z) = v \partial_z^2 f(t, z) - \mu f(t, z) + f(t, z) \int_0^1 f(t, x) dx + h(z) u(t) \quad (7)$$

$$f(t, 0) = f(t, 1) = 0, \quad (8)$$

$$f(0, z) = 0 \quad (9)$$

f définie sur $\mathbb{T} \times [0, 1]$ avec $\mathbb{T} = \mathbb{R}_+$, $h \in C([0, 1])$, v, μ constants positifs

EDP de réaction diffusion

- $U = \mathbb{R}, X = L^2([0, 1]),$
- Operateur A de domaine $\mathcal{D}(A) = H^2(0, 1) \cap H_0^1(0, 1),$

$$A = v \partial_z^2 - \mu I,$$

Operateur $B:$

$$B(u) : z \mapsto h(z)u.$$

- $P(x) = A_2(x, x)$ avec $A_2 : (x, y) \mapsto x < y, 1 >$ et $Q = 0.$

EDP de réaction diffusion

A générateur infinitésimal de S tq

$$\|S(t)\|_{\mathcal{L}(\mathbb{X},\mathbb{X})} \leq M \exp(\lambda_1 t),$$

avec $M = 1$ et $\lambda_1 = -(\mu + \nu\pi^2)$

$$\gamma = M \frac{1 - \exp(\lambda_1 T)}{|\lambda_1|}.$$

$$a_2 = \gamma, F_\varepsilon(X) = F(X) = \frac{1}{1-\gamma X}, \sigma = \frac{1}{2\gamma}$$

$$\rho^* = \frac{1}{4\gamma}, \text{ convergence pour } \|x_1\|_{\mathcal{X}} < \rho^*.$$

Simulations numériques

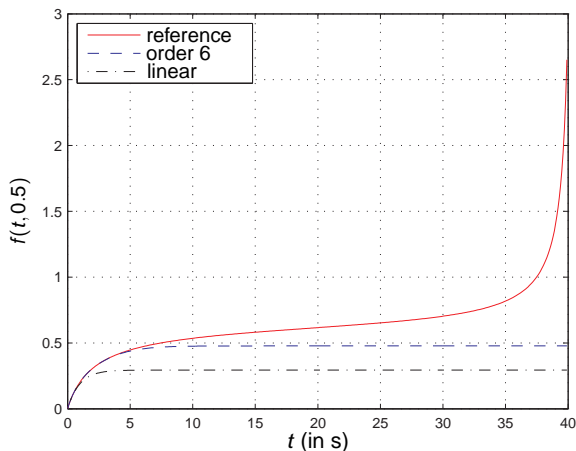


Figure: Simulation de $f(t, 0.5)$ pour $x_{\text{ini}} = 0$ et $u(t) = 1.1\rho^*$;
 $\nu = 0.005$, $\mu = 1$ et $h : z \mapsto \sin(\pi z)$ (1ere fonction propre de A),

PARTIE 3: Applications pour la synthèse sonore

- **Application 1:** Résultats pour un modèle non linéaire de corde

[Helie,Roze: JSV 2008]

- **Application 2:** Propagation non linéaire dans les instruments de type cuivre

[Helie,Hasler: IJC 2004] et [Helie,Smet: IEEE MED 2008]

L'IRCAM: Institut de Recherche et Coordination Acoustique/Musique [CNRS UMR 9912]



<http://www.ircam.fr>



Création : en **1971** par **Pierre Boulez**

Vocation : interaction entre

- **recherche** scientifique (son & musique)
- **développement** technologique
- **création musicale** contemporaine

Équipe Analyse-Synthèse :

- **modèles de synthèse**
- procédés d'**analyse** des sons
- outils de **transformation** des sons

Application 1

Résultats pour un modèle non linéaire de corde (Kirchhoff)

[Hélie,Roze:JSV 2008]

Model

The Kirchhoff equation (u : transverse displacement)

$$\forall (x, t) \in \Omega =]0; 1[\times \mathbb{R}^{+*}$$

$$\frac{\partial^2 u}{\partial t^2} +$$

$$= 1$$

$$\frac{\partial^2 u}{\partial x^2} +$$

Model

The Kirchhoff equation (u : transverse displacement)

$$\forall (x, t) \in \Omega =]0; 1[\times \mathbb{R}^{+*}$$

$$\frac{\partial^2 u}{\partial t^2} + \alpha \frac{\partial u}{\partial t} - \beta \frac{\partial}{\partial t} \frac{\partial^2 u}{\partial x^2} = 1 + \frac{\partial^2 u}{\partial x^2} +$$

(α, β) : damping

Model

The Kirchhoff equation (u : transverse displacement)

$$\forall (\mathbf{x}, t) \in \Omega =]0; 1[\times \mathbb{R}^{+*}$$

$$\frac{\partial^2 u}{\partial t^2} + \alpha \frac{\partial u}{\partial t} - \beta \frac{\partial}{\partial t} \frac{\partial^2 u}{\partial x^2} = 1 + \frac{\partial^2 u}{\partial x^2} + \phi(\mathbf{x})f(t)$$

(α, β) : damping

$f(t)$: excitation force

Model

The Kirchhoff equation (u : transverse displacement)

$$\forall (\mathbf{x}, t) \in \Omega =]0; 1[\times \mathbb{R}^{+*}$$

$$\frac{\partial^2 u}{\partial t^2} + \alpha \frac{\partial u}{\partial t} - \beta \frac{\partial}{\partial t} \frac{\partial^2 u}{\partial x^2} = \left[1 + \varepsilon \int_0^1 \left\| \frac{\partial u}{\partial x} \right\|^2 dx \right] \frac{\partial^2 u}{\partial x^2} + \phi(x) f(t)$$

(α, β) : damping ε : nonlinear coefficient $f(t)$: excitation force

Model

The Kirchhoff equation (u : transverse displacement)

$$\forall (\mathbf{x}, t) \in \Omega =]0; 1[\times \mathbb{R}^{+*}$$

$$\frac{\partial^2 u}{\partial t^2} + \alpha \frac{\partial u}{\partial t} - \beta \frac{\partial}{\partial t} \frac{\partial^2 u}{\partial x^2} = \left[1 + \varepsilon \int_0^1 \left\| \frac{\partial u}{\partial x} \right\|^2 dx \right] \frac{\partial^2 u}{\partial x^2} + \phi(x) f(t)$$

(α, β) : damping ε : nonlinear coefficient $f(t)$: excitation force

Boundary and initial conditions

Dirichlet homogeneous: $u(x=0, t) = u(x=1, t) = 0$

At rest for $t \leq 0$: $u(x, t) = \partial_t u(x, t) = 0$

Equation satisfied by the Volterra kernels

Kirchhoff equation of the string

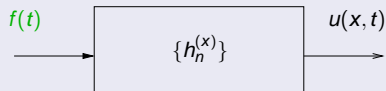
$$\frac{\partial^2 u}{\partial t^2} + \alpha \frac{\partial u}{\partial t} - \beta \frac{\partial}{\partial t} \frac{\partial^2 u}{\partial x^2} - \left[1 + \varepsilon \int_0^1 \left\| \frac{\partial u}{\partial x} \right\|^2 dx \right] \frac{\partial^2 u}{\partial x^2} - \phi(x) f(t) = 0$$

Equation satisfied by the Volterra kernels

Kirchhoff equation of the string

$$\frac{\partial^2 u}{\partial t^2} + \alpha \frac{\partial u}{\partial t} - \beta \frac{\partial}{\partial t} \frac{\partial^2 u}{\partial x^2} - \left[1 + \varepsilon \int_0^1 \left\| \frac{\partial u}{\partial x} \right\|^2 dx \right] \frac{\partial^2 u}{\partial x^2} - \phi(x) f(t) = 0$$

Definition of the solution as a Volterra series



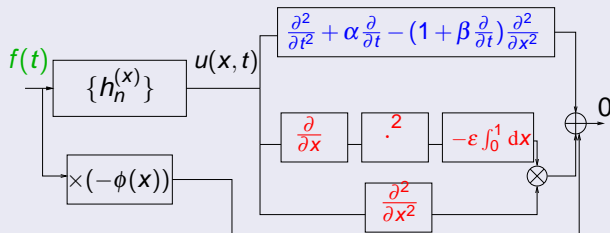
Volterra kernels must be parametrized in space: $\{h_n\} \rightarrow \{h_n^{(x)}\}$.

Equation satisfied by the Volterra kernels

Kirchhoff equation of the string

$$\frac{\partial^2 u}{\partial t^2} + \alpha \frac{\partial u}{\partial t} - \beta \frac{\partial}{\partial t} \frac{\partial^2 u}{\partial x^2} - \left[1 + \varepsilon \int_0^1 \left\| \frac{\partial u}{\partial x} \right\|^2 dx \right] \frac{\partial^2 u}{\partial x^2} - \phi(x) f(t) = 0$$

Cancelling system in the time domain

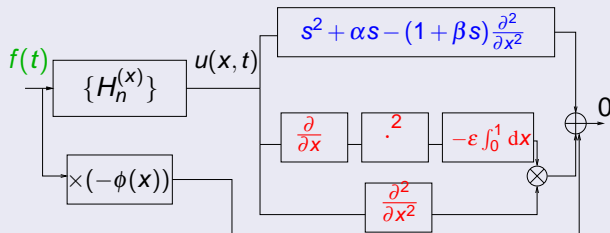


Equation satisfied by the Volterra kernels

Kirchhoff equation of the string

$$\frac{\partial^2 u}{\partial t^2} + \alpha \frac{\partial u}{\partial t} - \beta \frac{\partial}{\partial t} \frac{\partial^2 u}{\partial x^2} - \left[1 + \varepsilon \int_0^1 \left\| \frac{\partial u}{\partial x} \right\|^2 dx \right] \frac{\partial^2 u}{\partial x^2} - \phi(x) f(t) = 0$$

Cancelling system in the Laplace domain

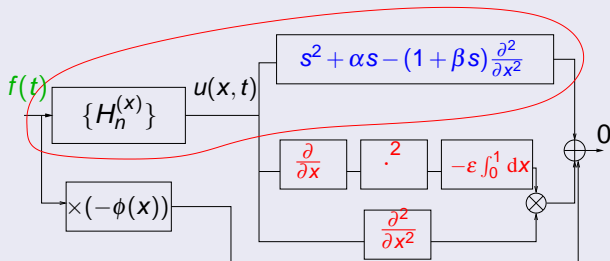


Equation satisfied by the Volterra kernels

Kirchhoff equation of the string

$$\frac{\partial^2 u}{\partial t^2} + \alpha \frac{\partial u}{\partial t} - \beta \frac{\partial}{\partial t} \frac{\partial^2 u}{\partial x^2} - \left[1 + \varepsilon \int_0^1 \left\| \frac{\partial u}{\partial x} \right\|^2 dx \right] \frac{\partial^2 u}{\partial x^2} - \phi(x) f(t) = 0$$

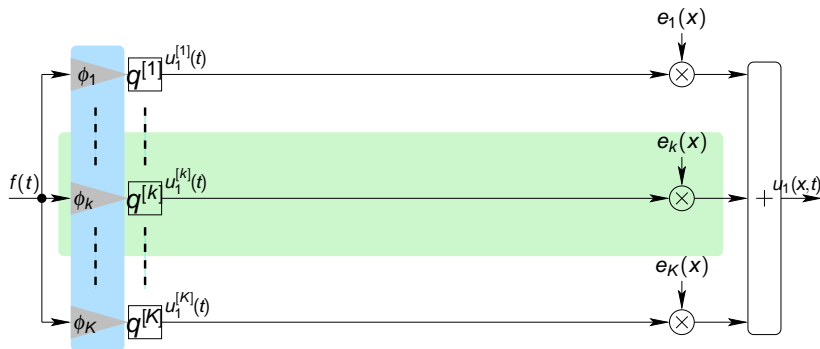
Cancelling system in the Laplace domain



$$\left[(\widehat{s_{1:n}})^2 + \alpha(\widehat{s_{1:n}}) - (1 + \beta(\widehat{s_{1:n}})) \frac{\partial^2}{\partial x^2} \right] H_n^{(x)}(s_{1:n}) \dots \text{etc}$$

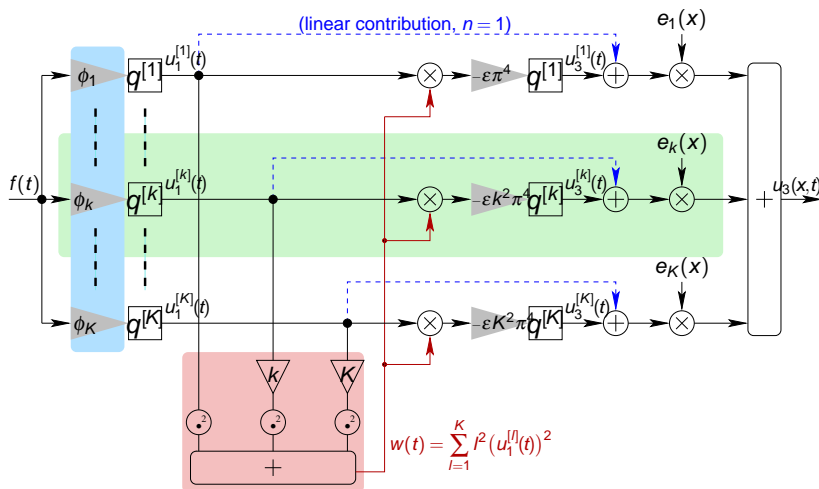
Solution and realization (see details in [JSV 2008])

(Projection of Volterra kernels on the L^2 -modal basis $\mathcal{B} = \{e_k(x) = \sqrt{2} \sin(k\pi x)\}$)



Solution and realization (see details in [JSV 2008])

(Projection of Volterra kernels on the L^2 -modal basis $\mathcal{B} = \{e_k(x) = \sqrt{2} \sin(k\pi x)\}$)



Application 2

Propagation non linéaire dans les instruments de type cuivre

[Helie,Smet: IEEE MED 2008]

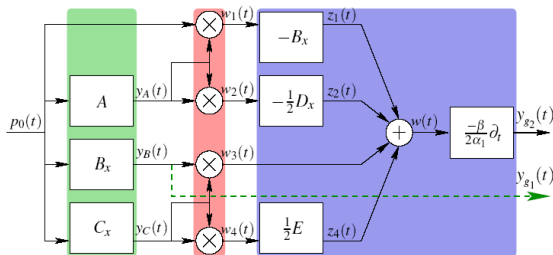
$$\partial_x p + \partial_t p + \alpha \partial_t^{1/2} p = \frac{\beta}{2} \partial_t p^2, \quad x, t > 0$$

$$p(x = 0, t) = p_0(t)$$

C.I. nulles

Résultat

Realistic case: 2nd order realization



Structure composed of **sums**, **products** and **linear filters** with (irrational) transfer functions:

$$\begin{aligned}
 A(s) &= 1/\sqrt{s} & B_x(s) &= G_1^{x,1}(s) = e^{-\alpha_1 x \sqrt{s}} \\
 C_x(s) &= e^{-\alpha_1 x \sqrt{s}}/\sqrt{s} & D(s) &= \sqrt{s} e^{-\alpha_1 x \sqrt{s}} & E(s) &= \sqrt{s}
 \end{aligned}$$

CONCLUSION

Perspectives

Perspectives

- Convergence pour des systèmes analytiques en l'état et l'entrée

Perspectives

Perspectives

- Convergence pour des systèmes analytiques en l'état et l'entrée
- Convergence pour des classes d'EDP plus générales

Perspectives

Perspectives

- Convergence pour des systèmes analytiques en l'état et l'entrée
- Convergence pour des classes d'EDP plus générales
- Résolution d'EDP en noyaux de "Green-Poisson-Volterra"

Perspectives

Perspectives

- Convergence pour des systèmes analytiques en l'état et l'entrée
- Convergence pour des classes d'EDP plus générales
- Résolution d'EDP en noyaux de "Green-Poisson-Volterra"
- Etude des séries divergentes, troncature optimale

Perspectives

Perspectives

- Convergence pour des systèmes analytiques en l'état et l'entrée
- Convergence pour des classes d'EDP plus générales
- Résolution d'EDP en noyaux de "Green-Poisson-Volterra"
- Etude des séries divergentes, troncature optimale
- Couplage avec des techniques de réduction de modèle

Références

V. Volterra. *Theory of Functionals and of Integral and Integro-Differential Equations.* Dover Publications, 1959.

Point de vue “entrée/sortie” et “réalisation”:

- **W. J. Rugh.** *Nonlinear System Theory, The Volterra/Wiener approach.* The Johns Hopkins University Press, 1981.
- **S. Boyd and L. Chua.** Fading memory and the problem of approximating nonlinear operators with Voltera series. *IEEE Trans. on Circuits and Systems*, 32(11):1150–1161, 1985.
- **P. E. Crouch and P. C. Collingwood.** The observation space and realizations of finite volterra series. *SIAM journal on control and optimization*, 25(2):316–333, 1987.
- **M. Schetzen.** *The Volterra and Wiener theories of nonlinear systems.* Wiley-Interscience, 1989.

Références

Systèmes dynamiques analytiques et linéaires analytiques:

- **R. W. Brockett.** Volterra series and geometric control theory. *Automatica*, 12:167–176, 1976.
- **E. G. Gilbert.** Functional expansions for the response of nonlinear differential systems. *IEEE Trans. Automat. Control*, 22:909–921, 1977.
- **C. Lesiak, A.J. Krener.** the existence and uniqueness of Volterra series for nonlinear systems. *IEEE Trans. Automat. Control*, 23:1090–1095, 1978.
- **M. Fliess.** Fonctionnelles causales non linéaires et indéterminées non commutatives. *Bulletin de la S.M.F.*, 109:3–40, 1981.
- **M. Fliess, M. Lamnabhi, and F. Lamnabhi-Lagarrigue.** An algebraic approach to nonlinear functional expansions. *IEEE Trans. on Circuits and Systems*, 30(8):554–570, 1983.
- **A. Isidori.** *Nonlinear control systems (3rd ed.)*. Springer, 3rd edition, 1995.

Références

Convergence (algorithme de calcul de domaines)

- **R. W. Brockett.** Convergence of Volterra series on infinite intervals and bilinear approximations. In V. Lakshmikanthan, editor, *Nonlinear Systems and Applications*, pages 39–46. Academic Press, 1977.
- **F. Bullo.** Series expansions for analytic systems linear in control. *Automatica*, 38:1425–1432, 2002.
- **Z. K. Peng and Z. Q. Lang.** On the convergence of the Volterra-series representation of the Duffing's oscillators subjected to harmonic excitations. *Journal of Sound and Vibration*, 305:322–332, 2007.

Références

Convergence (algorithme de calcul de domaines), suite

- **X. J. Jing, Z. Q. Lang, and S. A. Billings.** Magnitude bounds of generalized frequency response functions for nonlinear Volterra systems described by narx model. *Automatica*, 44:838–845, 2008.
- **T. Hélie and B. Laroche.** On the convergence of volterra series of finite dimensional quadratic mimo systems. *International Journal of Control, special issue in Honor of Michel Fliess 60 th-birthday*, 81-3:358–370, 2008.
- **T. Hélie and B. Laroche.** Computation of convergence bounds for Volterra series of analytic single input systems. *IEEE Transactions on Automatic Control*. 2010 (to appear)